

## II-10 砂礫の始動と移動量について

武藏工業大学 正員 王 方一

要旨：密に固定されたガラス玉の中、いくつもを自由にし、種々の高さに露出させ、流量を徐々に増しながら颗粒時の水理量を記録し、粒子の水中静的分散係数による影響を整理した。またはほ同じ粒径で同一砂礫の表面での高さの分布を測定してサツ仔数の分布を推測假定した。それによつて移動割合を決め、従前他、矢野他および筆者による流砂量と併用して集団平均移動速度を逆算し、矢野他が着色砂によつて行つた平均移動速度の実験値と比較した。細部ではいくつもの矛盾点は残るが、Shields限界以下でも流砂量が存在する表示となつてゐる。

### §1. 6.6mm ガラス玉に対する離脱限界実験

管20cm の水路底に6.6mm のガラス玉を密に固定し、横方向上  $S_y = 4d$  間隔に5個を自由にし、高さを種々変え、流量を漸増しながら離脱限界を記録した。下流側粒子は A型接觸(上から  $\rightarrow$  横方向  $\rightarrow$  垂直  $\rightarrow$   $d_{50}$ )といふ  $\tan \phi = \mu$  は適当比より算出できる。 $Z_{rc} = U_{rc}^2 / g s d$  と  $U_{rc} d / \rho$  との関係は圖-1 に示す(比  $\approx 2.3$ )これには着色理論も示されている。また  $Z_{rc} \cdot e^{\theta} / R_b$  との関係は圖-2 に示す。これらより  $Z_{rc} = f_1$ ,  $Z_{rc} = f_2 \cdot \mu$ ,  $Z_{rc} = f_3$ ,  $\mu = \tan \phi$  の影響の重要性がわかつる。

$$\text{今、粒子の運動の式 } F_{ax} + F_{ay} + F_{az} + W_{air} l_{ax} = W_{water} l_{ax} \quad \dots \dots \quad (1)$$

上式中  $F_x = C_x \frac{1}{2} \rho U_{ax}^2 l_{ax} d x d z^2$ , 握力  $F_z = C_z \frac{1}{2} \rho U_{az}^2 l_{az} d z d x^2$ , 重力  $W = g p d x d z$ , 浮力  $F_{ay} = g p d x d z \cos \theta$  などと入れると  $U_{ax}^2 / g s d = K_w / \frac{1}{2} d_x (d_x l_{ax} C_x + d_z l_{az} C_z) \dots \dots (2)$  ここで  $K_w = \cos \theta \frac{l_{ax}}{l_{az}} - \frac{P_f}{\rho g} \sin \theta \dots \dots (3)$  が得る。 $C_x = A_x^2 / A$ ,  $C_z = A_z^2 / A$ . また  $U_{ax} = (1+n_{Kw}) \bar{U}_{ax}$ ,  $K_w = \frac{\bar{U}_{ax}}{U_{ax}}$ ,  $\bar{U}_{ax} = a_1 U_{rc}$ ;  $P_f = (1+n_{Kw})^2$ ,  $U_{rc} = \frac{U_{rc}}{g s d}$  とすれば  $C_x = Z_{rc} / K_w = 1 / M \dots \dots (4)$  したがつて  $M = \frac{1}{2} d_x (d_x l_{ax} C_x + d_z l_{az} C_z) a_1^2 P_f \dots \dots (5)$  であるが、排水中の粒子の密度条件より  $l_{az} / l_{ax} = \tan \phi = \mu \dots \dots (6)$  が得る、従つて  $K_w = \tan \phi \cos \theta - \frac{P_f}{\rho g} \sin \theta \dots \dots (3)$

排水の場合は  $d_x = d_z = \frac{D}{4}$ ,  $a_1 = \frac{1}{2} d / \mu_{ax}$ ,  $l_{ax} = \frac{1}{2} d / \mu_{ax} \dots \dots$  となる  $Z_{rc} = Z_{rc} / K_w = \frac{1}{M} \dots \dots (7)$  である。したがつて  $M = \frac{3}{2} \left( \frac{U_{rc}}{U_{ax}} \right)^2 \left( C_x + \frac{1}{2} \frac{U_{rc}}{U_{ax}} C_z \right) a_1^2 P_f \dots \dots (8)$ 。(7)式の左辺と(1)式の右辺とは共にある粒度の  $M$  と水位の作用条件、諸移動割合が含まれてゐる。 $Z_{rc}$  と  $1/R_b$  の関係は圖-3 のようであり、 $1/R_b$  と共に増加するが、握力の上下の散乱はガラス玉の大きさ、形状、比重、配置上の状態、二次流の影響等によつて流量の小程度増加の不連続性によつて考えられる。 $Z_{rc}$  の値  $1/R_b$  への延長線向はわからぬが、ある着色流砂量に相当する範囲他の実験値  $Z_{rc} \sim 1/R_b$  (1973水理講、 $\mu = 1.0$  or 1.3) の様子より類推して  $1/R_b = a_1$  (これはほぼ一定に保つた) がと推測される。自然砂礫層に対する  $Z_{rc}$  は  $Z_{rc} = Z_{rc} / K_w$ ,  $Z_{rc} = Z_{rc} / K_{\Sigma}$  で  $Z_{rc} = K_w (Z_{rc} / K_{\Sigma}) \dots \dots (9)$  が得る。 $K_{\Sigma}$  は砂礫の形状、隣接粒子に対する遮へい、相互間の作用等による結合強度で、現時まではそれを決める方法はなく以後の計算では  $Z_{rc} / K_{\Sigma}$  を3種類の値に変えて計算して用いる。

### §2. 6.2mm の砂礫の露出面の分布

平均径6.2mm (6.73mm通過, 5.66mm残留) の砂礫構成されてる砂礫面をヘリコイドに、上方より見えた砂礫の頂点から露面高さまでの高さを1方向に順に測定した。試みに、表面から深さdmまでの総数  $N_{dl}$  に対する粒径の高さの割合分布を調べたところ、最頻率は約0.31d、従つて1粒径下を基準とする露出比は  $\eta_d \approx 0.69$  に相当する。

またこの粒度比のものの割合は約25%で、最も表面にあるものは砂粒である。(図-4)( $d/d=0 \sim 1, 1 \sim 2 \text{ mm} \cdots$  陽極)  
 $\eta = 0 \sim 1$  に付けて比較的滑れ分布を示す。 $N_{b1} = d_1 N_b$ ,  $N_b = 1/d^2$  とすれば、 $d_1 \approx 0.70$  を得る。表面から  $1.8d$  (見えてる範囲のもの) に対しては  $N_{b1.8} = 0.18 N_b$ ,  $d_{1.8} \approx 0.90$  となる。

ガラス玉の場合、 $\eta = 1 \sim 0$  に付けて  $\mu = 0 \sim \infty$  が相当する。ゆえに  $\mu$  は  
 「分布  $f(\mu) = \lambda (\lambda \mu)^{\lambda-1} e^{-\lambda \mu} / P(\mu)$ 」に示すようにとおそれられ、この実験値  $\eta_m \approx 0.69$  に付けて  $\mu_m = 0.77$  が相当する。実際の確率分布形態、つまりいなどの影響を考慮して、 $\mu_m$  はもと大きくなるとおそれられる。したがって  $\mu = 0.77$  とする。

### §3. 平均移動速度

輸送質量は  $\bar{g}_B = d N_b \bar{v}_s P_i \bar{U}_{sm}$  ……(9) と表わされる。 $P_i$  は表面より脱離する割合、 $\bar{U}_{sm}$  は難脱離確率の基準移動速度 今  $N_b = k_0 / d^2$ ,  $k_0 = \frac{1}{4}$ ,  $\bar{v}_s = d_1 \bar{v}_s d^3$ ,  $d_1 = 1$ , とすれば  $\phi = \bar{g}_B / d \sqrt{g_s d} = \frac{2}{3} \lambda P_i \xi$  となる ……(10)

$P_i$  は  $\int_{\mu_c}^{\infty} f(\mu) d\mu$  ……(11) といふ。 $\mu_c$  は  $K_w \approx \mu$  (緩衝距離) とする。 $\mu_c = \bar{U}_{sm} / (k_0 / K_w)$  とする。

今圖は 大野他、矢野他による筆者の流砂量実験値(図-5)より中を去し、式(11)と併用して(10)式より  $\xi$  を算出して見た。いま  $\xi = \bar{U}_{sm} / \sqrt{g_s d}$  今  $P_i = 5$ ,  $\lambda = 1.3$ ,  $d = 1.0$  までは  $k_0 / K_w = 0.012, 0.02, 0.04$  にて 算出結果は図-6 に示す。描寫は矢野他の著者による実験値である。 $T^* = 0.06$  以上は Einstein曲線を用いて算出する。 $T^* \leq 0.06$  では  $k_0 / K_w = 0.02$  あたりであろうあるが、たゞ、入、出率を、 $k_0 / K_w$  などの選擇に一層の検討が必要である。

§4 続き。平衡状態での難脱離率  $P = \int_{\mu_c}^{\infty} f(\mu) d\mu$  を使って表示すれば Kalinstei型の流砂量表示でも限界粒度以下の移動量は算出できるが、自然界面に対する係数  $K_w$  の求め方、高さの分布と  $\mu = d \ln \phi / d \ln \eta$  の対応関係などいくつかの難点が残されてる。

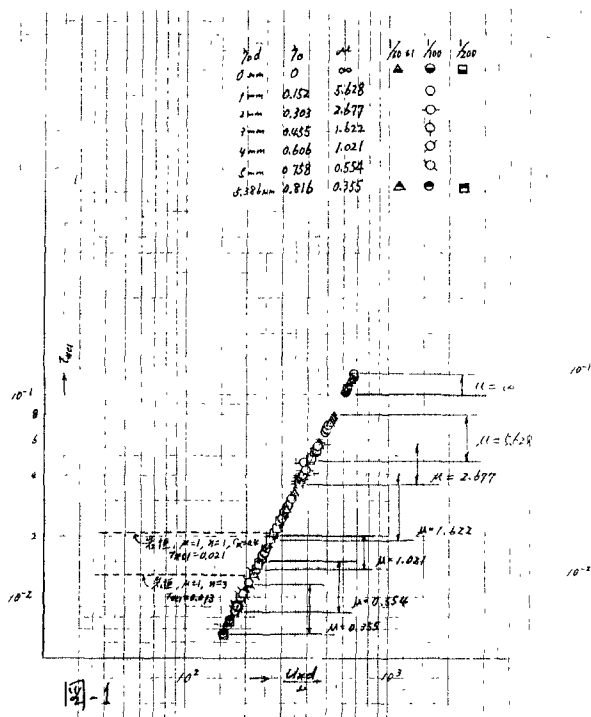


図-1

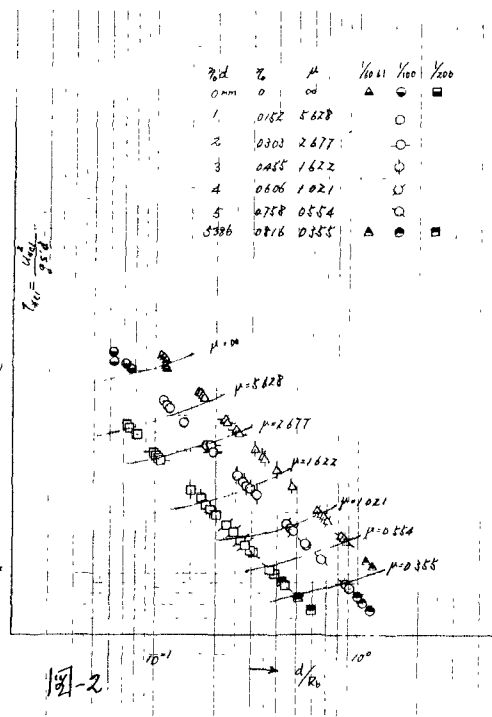


図-2

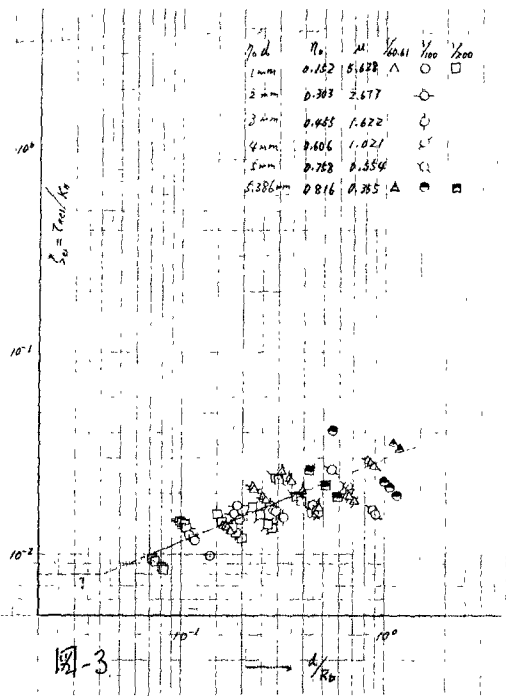


图-3

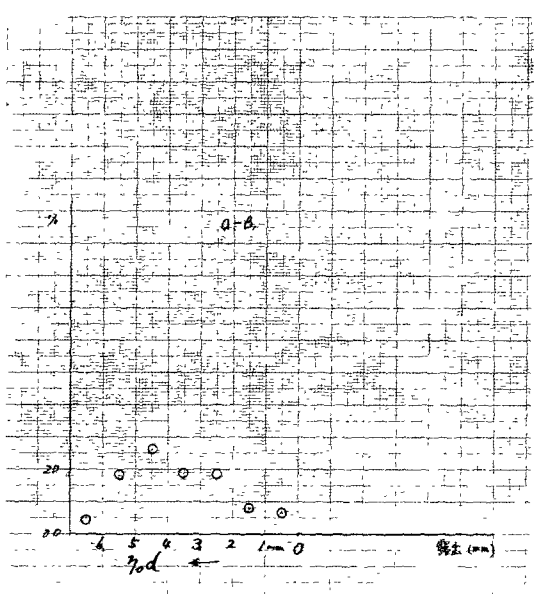


图-4

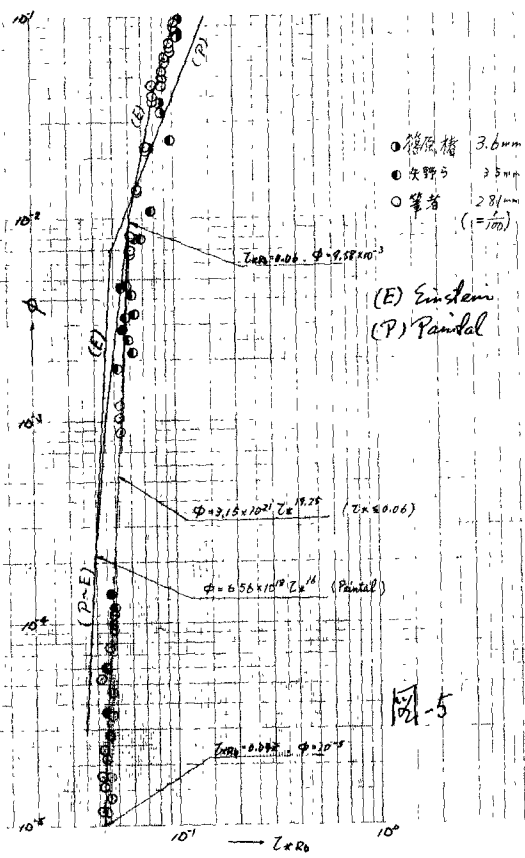


图-5

